

PACS: 74.25.-q, 74.25.Dw, 74.25.F-, 74.25.Uv, 74.25.Wx

И.В. Бойло<sup>1</sup>, Р.М. Таранец<sup>2,3</sup>

## УПРУГОДЕФОРМИРОВАННАЯ ВИХРЕВАЯ РЕШЕТКА В ВЫСОКОТЕМПЕРАТУРНЫХ СВЕРХПРОВОДНИКАХ ВТОРОГО РОДА

<sup>1</sup>Донецкий физико-технический институт им. А.А. Галкина НАН Украины  
ул. Р. Люксембург, 72, г. Донецк, 83114, Украина

<sup>2</sup>Институт прикладной математики и механики НАН Украины  
ул. Р. Люксембург, 74, г. Донецк, 83114, Украина

<sup>3</sup>School of Mathematical Sciences, University of Nottingham  
University Park, Nottingham NG7 2RD, UK

Статья поступила в редакцию 19 ноября 2010 года

*Рассматривается влияние упругих деформаций на характер проникновения магнитного поля в высокотемпературные сверхпроводники (ВТСП) второго рода. Предполагается, что эффективный активационный барьер крипа зависит нелинейным образом от плотности транспортного тока. Учтены упругие свойства вихревой решетки и влияние модуля упругости на глубину проникновения магнитного поля в образец.*

**Ключевые слова:** высокотемпературные сверхпроводники, проникновение магнитного поля, упругие деформации

### 1. Введение

Высокотемпературная сверхпроводимость является одной из наиболее стремительно развивающихся областей науки. Обнаружение иттрий-бариевого купрата с критической температурой сверхпроводящего перехода 93 К позволило решить проблему с хладагентом и перейти от дорогостоящего жидкого гелия, который позволяет работать со сверхпроводящими материалами только при очень низких температурах, к жидкому азоту, снизив тем самым расходы до 10000 раз. Этот фактор приводит к удешевлению, а следовательно, более широкому распространению различных сверхпроводниковых устройств, которые работают при температуре жидкого азота 77 К и выше [1]. По этой причине исследования транспортных характеристик объемных образцов ВТСП при температурах, близких к температуре их сверхпроводящего перехода  $T_c$ , и влияния на них таких внешних факторов, как магнитное поле и деформация, являются одними из наиболее актуальных задач физики твердых тел.

Характер релаксации магнитного потока в объеме сверхпроводника зависит от величины активационного барьера  $U_a(J)$ , высота которого определяется плотностью транспортного тока  $J$ , индукцией магнитного поля и тепловыми возмущениями. При низких температурах  $T$  пиннинг является одним из основных факторов, влияющих на характер проникновения вихревых нитей в высокотемпературные купраты, которые, как это хорошо известно, относятся к сверхпроводникам второго рода. С приближением к критической температуре  $T_c$  растет взаимодействие между вихрями по мере увеличения глубины проникновения магнитного поля  $\lambda$ . Влияние тепловых возмущений, которые срывают вихревые нити с центров пиннинга, традиционно описывается моделью Андерсона для классического крипа магнитного потока (см., напр., [2]). Заметим, что в ВТСП существует также и «гигантский» крип [3–5], и обычно в них доминируют точечные дефекты или так называемый  $\delta T_c$ -точечный пиннинг [6]. В этом случае для исследования отклика высокотемпературного сверхпроводника на слабые возмущения, обусловленные плотностью транспортного тока  $J$ , используется ряд других моделей (см. [6]), причем разным фазам сверхпроводника, как правило, соответствуют различные аналитические выражения для  $U_a(J)$ . Сама зависимость  $U_a(J)$  является, вообще говоря, нелинейной функцией плотности транспортного тока и, возможно, амплитуды магнитного поля. К сожалению, экспериментальное подтверждение «линейных» теорий ограничивается лишь некоторыми специальными случаями [7–11].

Простейшей моделью, которая описывает влияние тепловых возмущений на характер движения вихревых нитей, является модель классического крипа вихревых нитей, когда их скорость движения  $v$  может быть описана с помощью закона Аррениуса  $v \propto \exp(-U_a/k_B T)$ . Скорость движения вихрей увеличивается под действием силы Лоренца  $\mathbf{f}_L = c^{-1}[\mathbf{J}, \mathbf{B}]$ , где  $\mathbf{J}$  – плотность транспортного тока,  $\mathbf{B}$  – индукция магнитного поля, усредненная по решетке Абрикосова [12]. При этом высота активационного барьера убывает с ростом  $J$ .

Заметим, что вихревые нити, с одной стороны, деформируются под влиянием управляющей силы Лоренца, а с другой – обладают упругостью. Конкуренция между этими двумя факторами (с дополнительным учетом тепловых флуктуаций) приводит к изменению характера проникновения магнитного поля в образец. В частности, она может привести к пластической деформации вихревой решетки с последующим ее плавлением и переходом в фазу вихревой жидкости. В этом случае барьер активации всегда нелинеен.

Общий подход к исследованию зависимости энергии активации от плотности тока  $J$  и индукции магнитного поля  $B$  рассмотрен в работах [13–15], где зависимость энергии активации вихревых нитей от плотности тока и/или

индукции магнитного поля была записана в виде разложения в ряд Тейлора (при этом температура рассматривалась как параметр). В [13] показано, что в этом разложении квадратичное слагаемое отвечает упругим деформациям вихревой решетки, а остальные вклады соответствуют неупругим деформациям. Используя этот подход, в данной работе мы рассмотрим эволюцию автомодельных магнитных структур на упругой решетке Абрикосова. Предложенный нами математический формализм позволяет получить стационарные распределения магнитного поля в высокотемпературных сверхпроводниках второго рода.

## 2. Упругость вихревой решетки и барьер пиннинга

Предположим, что проникновение вихрей в объем сверхпроводника происходит посредством «прыжков» вихревых нитей между соседними центрами пиннинга. Из-за взаимодействия транспортного тока с вихрями (сила Лоренца) реальный потенциал пиннинга  $U_{\text{eff}}$  является функцией тока  $J$ . При конечных температурах  $T$  вихри спонтанно «прыгают» с одного места на другое, преодолевая потенциальный барьер  $U_{\text{eff}}$ . Характерное время такого «прыжка» определяется стандартным активационным законом

$$t = t_0 \exp\left(\frac{U_{\text{eff}}}{k_B T}\right), \quad (1)$$

где  $t_0$  – эффективное время попытки преодолеть барьер.

В общем случае зависимость  $U_{\text{eff}}$  от  $J$  неизвестна, поскольку зависит от множества факторов – микроструктуры сверхпроводника, отношения плотности транспортного тока к плотности критического тока  $J_c$  и пр. Андерсон и Ким предположили, что функция  $U_{\text{eff}}(J)$  является линейной [2,16]:

$$U_{\text{eff}} = U_c \left(1 - \frac{J}{J_c}\right), \quad (2)$$

где  $U_c$  – высота барьера в отсутствие тока. Заметим, что в этом выражении  $J_c$  означает плотность критического тока при данной индукции магнитного поля  $B$ , т.е.  $J_c = J_c(B)$ .

Чтобы найти зависимость  $J(t)$ , подставим (2) в (1) и получим

$$J = J_c \left(1 - \frac{k_B T}{U_c} \ln \frac{t}{t_0}\right). \quad (3)$$

Итак, если предположение (2) верно, то мы имеем логарифмический закон релаксации тока со временем. Именно такие зависимости и наблюдались в большинстве традиционных сверхпроводников. В то же время для ВТСП-материалов было обнаружено нелогарифмическое поведение, как, например, в монокристаллических образцах соединения  $\text{Bi}_2\text{Sr}_2\text{CaCu}_2\text{O}_{8+x}$  (Bi-2212)

[13]. При этом вихревая динамика в нелогарифмическом режиме нечувствительна к микроструктуре образца, в частности к содержанию и распределению кислородных вакансий.

Для описания транспортных характеристик ВТСП-материалов при температурах, близких к критической, предположение Андерсона–Кима (2) является недостаточным. Следуя работе [13], будем использовать следующие предположения: 1) энергия  $U_a(J)$  является нелинейной функцией плотности тока вследствие упругости вихревых нитей; 2) функция  $U_a(J)$  задана на интервале  $[0, J_c]$ ; 3) существует предел  $U_a(J \rightarrow 0) \rightarrow U_c$ , где  $U_c$  – энергия пиннинга; 4)  $U_a(J \rightarrow J_c) \rightarrow 0$  и, следовательно, барьер активации  $U_a(J)$  является ограниченной функцией при всех  $J \in [0, J_c]$ . Этим требованиям удовлетворяет представление активационного барьера в виде ряда

$$U_a(J) = U_c - \sum_{i=1}^n a_i J^i, \quad (4)$$

где  $U_c = U_a(0)$ ,  $a_1 = -U'_a(0)$ ,  $a_2 = -\frac{U''_a(0)}{2!}$ , ...,  $a_n = -\frac{U^n_a(0)}{n!}$ . Заметим, что в

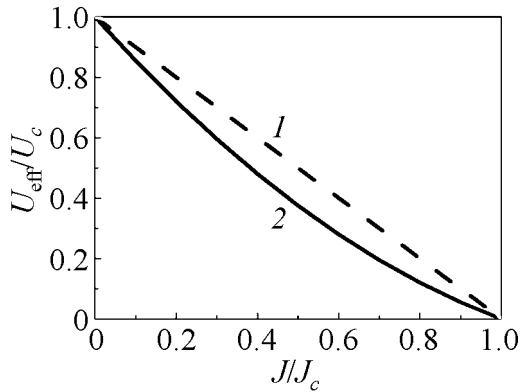
механике энергия упругости описывается квадратичным полиномом, в то время как неупругие возмущения или взаимодействия представляются полиномами более высокого порядка (см. [13]). В дальнейшем мы не будем учитывать неупругие взаимодействия в системе. Предположим, что деформации вихревых нитей  $\delta$  намного меньше расстояния между двумя соседними центрами пиннинга  $D$ , т.е.  $\delta \ll D$ . Тогда энергия упругости вихревых нитей определяется соотношением [13]:

$$U_e(J) = \frac{L^5 f_L^2}{40EI} = \frac{L^5 \Phi_0^2}{40EI} J^2, \quad (5)$$

где  $L$  – характерная длина сегмента вихревой нити,  $E$  – величина модуля упругости,  $I$  – величина момента инерции,  $\Phi_0$  – квант магнитного потока. Коэффициент  $a_2$  в (4) моделирует вклад упругой энергии деформации вихревых нитей. Энергией неупругой деформации вихревых нитей мы пренебрегаем, т.е.  $a_n = 0$  при  $n > 2$ . В дальнейшем будем обсуждать именно этот случай, который соответствует учету малого слагаемого, пропорционального  $(J/J_c)^2$ , в разложении эффективной энергии барьера (2) по степеням  $J/J_c$ :

$$U_{\text{eff}}(J) = U_c - a_1 \frac{J}{J_c} - a_2 \left( \frac{J}{J_c} \right)^2. \quad (6)$$

Подчеркнем особо, что параметры  $a_1$  и  $a_2$  не являются независимыми, так как  $U_{\text{eff}}(J)$  при  $J = J_c$  обращается в нуль, и, значит,  $1 - a_1 - a_2 = 0$  или  $a_2 = 1 - a_1$ .



**Рис. 1.** Эффективный барьер пиннинга: 1 – линейный активационный барьер Андерсона ( $a_1 = 1, a_2 = 0$ ); 2 – эффективный барьер, учитывающий вклад упругой энергии взаимодействия вихревых нитей ( $a_1 > 0, a_2 < 0$ )

Влияние линейного активационного барьера на процесс движения вихревых нитей, а следовательно, и процесс проникновения магнитного потока в образец были детально исследованы в [6]. В [13] показано, что линейное представление активационного барьера можно использовать при низких температурах. При более высоких температурах (а именно этот случай и интересует нас в данной работе) необходимо учитывать изгиб нитей вихревой решетки, который зависит от модуля упругости. Последний, в свою очередь, зависит от лондоновской глубины проникновения магнитного поля  $\lambda(T) = \lambda_0(1 - T/T_c)^{-1/2}$  ( $\lambda_0$  – глубина проникновения магнитного поля при  $T = 0$ ), которая является возрастающей функцией  $T$ , следовательно, модуль упругости убывает с ростом температуры. При высоких температурах вихревая решетка сильно деформируется, что приводит к необходимости учитывать нелинейную зависимость активационного барьера от плотности тока, представленную на рис. 1, кривая 2. Так как  $a_2 = -U''_{\text{eff}}(0)/2!$ , то

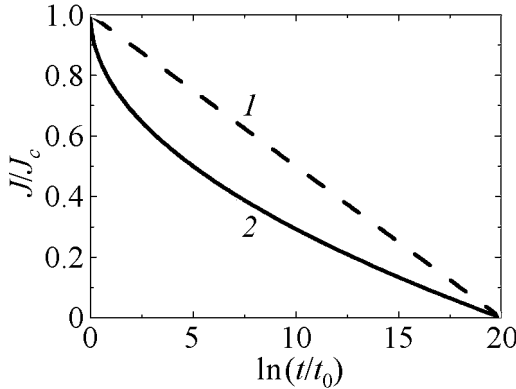
$$a_2 = -\frac{L^5 \Phi_0^2}{40EI} < 0. \tag{8}$$

Известно [13], что  $a_1 \sim \Phi_B d^2$ , где  $d$  – характерная длина элементарной связи вихревых нитей, а  $\Phi_B$  – полный поток в ней, определяемый коллективным пиннингом вихрей. Итак, всегда выполняются неравенства:  $a_1 > 0$  и  $a_2 < 0$ . С другой стороны, на активационный барьер  $U_{\text{eff}}(J)$  накладывается дополнительно требование монотонного убывания

$$\frac{dU_{\text{eff}}(J)}{dJ} < 0 \text{ при всех } 0 \leq J < J_c. \tag{9}$$

В результате этого активационный барьер имеет вид, представленный на рис. 1, кривая 2.

Дальнейшие теоретические расчеты будут подобны вычислениям Андерсона–Кима, но с заменой уравнения (2) на соотношение (6). В рамках нашей теории релаксация критического тока со временем будет иметь вид, представленный на рис. 2.



**Рис. 2.** Эволюция критического тока во времени: 1 – модель Андерсона–Кима; 2 – нелинейная модель, учитывающая энергию упругих взаимодействий вихревых нитей

### 3. Эволюция магнитного поля при температурах, близких к критической

Получим уравнение, которое описывает распределение индукции магнитного поля в случае сильного взаимодействия вихрей между собой. Как уже отмечалось выше, скорость, с которой вихрь перепрыгивает из одного места пиннинга в другое (т.е. скорость его движения), задается простым соотношением Аррениуса [17]:

$$v = v_0 \exp\left(-\frac{U_{\text{eff}}(J)}{k_B T}\right), \quad (10)$$

где  $v_0 = \Omega D$  – микроскопическая скорость движения вихрей,  $\Omega$  – частота колебаний вихревой нити,  $D$  – среднее расстояние между центрами пиннинга, зависимость  $U_{\text{eff}}(J)$  задается выражением (6), в котором  $J_c = J_c(B)$ .

Рассматривая «гигантский» крип потока вихрей при температурах, близких к  $T_c$ , когда  $U_c/k_B T < 1$  и  $U_{\text{eff}}/k_B T \ll 1$ , можем представить скорость движения вихрей в виде

$$v \approx v_0 \left(1 - \frac{U_{\text{eff}}(J)}{k_B T}\right) = v_0 \left(1 - \frac{U_c}{k_B T} + \frac{a_1}{k_B T} J + \frac{a_2}{k_B T} J^2\right). \quad (11)$$

Будем считать, что сверхпроводник занимает все полупространство  $x \geq 0$ , и рассмотрим параллельную геометрию  $\mathbf{B} \parallel \mathbf{e}_z$ ,  $\mathbf{E}, \mathbf{J} \parallel \mathbf{e}_y$  и  $\mathbf{v} \parallel \mathbf{e}_x$ , где  $\mathbf{e}$  – единичный орт. Предположим также, что температура сверхпроводника совпадает с температурой охладителя, т.е. пренебрежем неизотермичностью процесса, исходя из того факта, что значение коэффициента диффузии обеспечивает быстрое выравнивание градиента температуры. Такое эффективное охлаждение имеет место для композитных сверхпроводников [18,19]. При изотермических условиях температуру можно рассматривать как параметр, и, следовательно, взаимосвязь между магнитной индукцией, электрическим полем  $\mathbf{E}$  и транспортным током  $\mathbf{J}$  определяется уравнениями Максвелла.

Тогда, в рамках подхода [3], из равенства  $E = c^{-1} B v$  и уравнения Максвелла  $B_t = -c E_x$  получаем следующее уравнение распределения индукции магнитного поля в образце:

$$b_t + k_0 b_x = k_1 (bb_x)_x + k_2 (bb_x^2)_x, \quad (12)$$

где  $k_0 = \frac{v_0 t_h}{\lambda} \left(1 - \frac{U_c}{k_B T}\right)$ ,  $k_1 = \frac{v_0 t_h a_1 \kappa}{\lambda k_B T}$ ,  $k_2 = -\frac{v_0 t_h a_2 \kappa^2}{\lambda k_B T}$ . Параметр  $\kappa$  определяется из уравнения  $j = -\kappa b_x$ , где  $\kappa = \frac{c H_{c1}}{4\pi J_c^0 \lambda}$ ,  $j = J/J_c^0$ ,  $J_c^0$  – плотность критического тока при нулевой температуре [6].

#### 4. Стационарные распределения магнитного поля с учетом упругого взаимодействия вихревых нитей

В данной работе мы исследуем стационарные распределения магнитного поля в одномерном полупространстве, полагая  $b_t = 0$  в уравнении (12):

$$k_1 b b_x + k_2 b b_x^2 - k_0 b + c = 0, \quad (13)$$

где  $c = k_0 b(0) - k_1 b(0) b_x(0) - k_2 b(0) b_x^2(0)$ .

Тогда

$$b_x = -\frac{k_1}{2k_2} - \frac{1}{2k_2} \sqrt{k_1^2 + 4k_2(k_0 - c b^{-1})}, \quad (14)$$

где  $k_1 > 0$ ,  $k_2 > 0$ ,  $k_0 > 0$ ,  $c \leq 0$ . Решение уравнения (14) дает следующий интеграл:

$$I = \frac{2k_2}{k_1} \int_{b(0)}^{b(x)} \frac{dz}{-1 - \sqrt{1 + \frac{4k_2}{k_1^2} (k_0 - c z^{-1})}} = x, \quad (15)$$

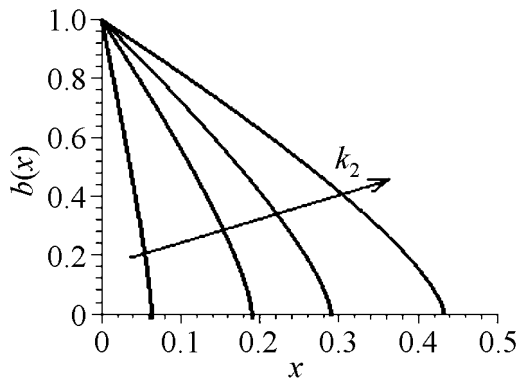
который имеет вид

$$I(z) = \frac{k_1}{2k_0} z + \frac{k_1 c}{2k_0^2} \ln \left( \frac{4k_0 k_2}{k_1^2} z - \frac{4k_2 c}{k_1^2} \right) - \frac{k_1}{2k_0} \sqrt{\left(1 + \frac{4k_0 k_2}{k_1^2}\right) z^2 - \frac{4k_2 c}{k_1^2} z} - \frac{c}{k_0} \left( \frac{k_1}{2k_0} + \frac{k_2}{k_1} \right) \frac{1}{\sqrt{1 + \frac{4k_0 k_2}{k_1^2}}} \times \\ \times \ln \left( \frac{-\frac{4k_2 c}{k_1^2} + 2 \left(1 + \frac{4k_0 k_2}{k_1^2}\right) z + 2 \sqrt{\left(1 + \frac{4k_0 k_2}{k_1^2}\right) z^2 - \frac{4k_2 c}{k_1^2} z} \sqrt{1 + \frac{4k_0 k_2}{k_1^2}}}{2 \sqrt{1 + \frac{4k_0 k_2}{k_1^2}}} \right) +$$

$$+ \frac{k_1 c^2}{2k_0^3} \sqrt{\frac{k_0^2}{c^2}} \ln \left( \frac{2c \left( 1 + \frac{2k_0 k_2}{k_1^2} \right) z - \frac{4k_2 c^2}{k_1^2} + 2 \sqrt{\frac{c^2}{k_0^2}} \sqrt{\left( 1 + \frac{2k_0 k_2}{k_1^2} \right) z^2 - \frac{4k_2 c}{k_1^2} z \cdot k_0}}{k_0 z - c} \right),$$

где  $c \leq 0$ .

Полученные в результате численных расчетов стационарные распределения магнитного поля в одномерном полупространстве  $x \geq 0$  представлены на рис. 3. Соответствующие кривые определяли из условия  $I(b(x)) - I(b(0)) = x$ . Как видно из рис. 3, с ростом параметра  $k_2 \propto a_2 \propto E^{-1}$ , т.е. с уменьшением упругого модуля вихревой решетки происходит увеличение глубины проникновения магнитного поля в ВТСП-образец.



**Рис. 3.** Распределения магнитного поля внутри сверхпроводящего полупространства в зависимости от величины параметра  $k_2 = 1, 5, 10$  и  $20$ , характеризующего влияние энергии упругости вихревых нитей. Стрелкой показано направление возрастания параметра  $k_2$

### 5. Заключение

Предложенный в данной работе подход к анализу распределения магнитного поля внутри высокотемпературного сверхпроводника второго рода позволил исследовать влияние деформации вихревой решетки под действием сил Лоренца и упругих взаимодействий вихревой решетки. При этом важную роль играет конкуренция трех факторов: величины транспортного тока, высоты барьера пиннинга и значения модуля упругости вихревой решетки. Нами впервые показано, что уменьшение модуля упругости решетки вихрей приводит к увеличению глубины проникновения магнитного поля в образец.

Исследования Р.М. Таранца были частично поддержаны Седьмой рамочной программой Европейского Союза, грант № PIF-GA-2009-254521.

1. В.С. Эдельман, Вблизи абсолютного нуля, Изд-во физ.-мат. лит., Москва (2001).
2. P.W. Anderson, Y.B. Kim, Rev. Mod. Phys. **36**, 39 (1964).
3. И.Б. Краснюк, Р.М. Таранец, ЖТФ **77**, 1 (2007).
4. И.Б. Краснюк, ЖТФ **77**, 30 (2007).
5. И.Б. Краснюк, Р.М. Таранец, ЖТФ **78**, 83 (2008).

6. G. Blatter, M.V. Feigel'man, V.B. Geshkenbein, A.I. Larkin, V.M. Vinokur, Rev. Mod. Phys. **66**, 1125 (1994).
7. Carlos Bolesh, Gustavo C. Buscaglia, A. Lopes, Phys. Rev. **B52**, R15719 (1995).
8. Eran Sela, Lan Affleck, Phys. Rev. **B79**, 024503 (2009).
9. A.D. Hernandez, A. Lopes, Phys. Rev. **B77**, 144506 (2008).
10. B.J. Baelus, A. Kanda, N. Shimizu, K. Tanado, Y. Ootuka, K. Kadowaki, F.M. Peeters, Phys. Rev. **B73**, 024514 (2006).
11. B.J. Baelus, K. Kadowaki, F.M. Peeters, Phys. Rev. **B71**, 024514 (2005).
12. А.А. Абрикосов, ЖЭТФ **32**, 1442 (1957).
13. Rongchao Ma, J. Appl. Phys. **108**, 053907 (2010).
14. Rongchao Ma, J. Appl. Phys. **109**, 013913 (2011).
15. Rongchao Ma, J. Appl. Phys. **109**, 103910 (2011).
16. P.W. Anderson, Phys. Rev. Lett. **9**, 309 (1962).
17. M. Tinkham, Introduction to Superconductivity, McGraw-Hill, New York (1996).
18. В.Р. Романовский, ЖТФ **70**, 47 (2000).
19. В.Р. Романовский, ЖТФ **73**, 77 (2003).

*I.V. Boylo, R.M. Taranets*

#### ПРУЖНОДЕФОРМОВАНА ВИХРОВА КОМІРКА У ВИСОКОТЕМПЕРАТУРНИХ НАДПРОВІДНИКАХ ДРУГОГО РОДУ

Розглядається вплив пружних деформацій на характер проникнення магнітного поля у високотемпературні надпровідники другого роду. Припускається, що ефективний активаційний бар'єр кріпу залежить нелінійним чином від густини транспортного струму. Враховано пружні властивості вихрової комірки і вплив модуля пружності на глибину проникнення магнітного поля у зразок.

**Ключові слова:** високотемпературні надпровідники, проникнення магнітного поля, пружні деформації

*I.V. Boylo, R.M. Taranets*

#### ELASTICALLY DEFORMED VORTEX LATTICE IN HIGH-TEMPERATURE TYPE-II SUPERCONDUCTORS

Elastic deformation effect on character of the magnetic-field penetration into high-temperature type-II superconductors is considered. The effective creep activation barrier is assumed to depend nonlinearly upon the transport current density. Elastic properties of a vortex lattice and influence of the elastic module on the depth of the magnetic field penetration into a sample are taken into account.

**Keywords:** high-temperature superconductors, magnetic field penetration, elastic deformations

**Fig. 1.** Effective pinning barrier: 1 – Anderson’s linear activation barrier ( $a_1 = 1, a_2 = 0$ ); 2 – effective barrier taking into account the contribution of the elastic interaction energy of the vortex lines ( $a_1 > 0, a_2 < 0$ )

**Fig. 2.** Time evolution of the critical current: 1 – Anderson–Kim model; 2 – nonlinear model taking into account the elastic interaction energy of the vortex lines

**Fig. 3.** Magnetic field distribution in a superconducting half-space depending on the value of the parameter  $k_2 = 1, 5, 10,$  and  $20,$  that characterizes the effect of the elastic energy of the vortex lines. The arrow indicates the direction of  $k_2$  parameter increase